
Towards a Theory of Entropy Production in the Little and Big Bang

A. Ohnishi¹, T. Kunihiro², B. Mueller³, A. Schaefer⁴

1. YITP, Kyoto U., 2. Dept. of Phys., Kyoto U.

3. Duke U., 4. U. of Regensburg

Based on discussions at the YIPQS molecule-type workshop,
“Entropy production before QGP”, YITP, August, 2009.

“Towards a Theory of Entropy Production in the Little and Big Bang”

T. Kunihiro, B. Mueller, A. Ohnishi, A. Schaefer

Prog. Theor. Phys. 121 (2009), 555-575 [arXiv:0809.4831]

RHIC における速い熱平衡化の起源

- Early Thermalization ($\tau \sim 0.6$ fm/c)
 - Glauber type の初期条件 + 完全流体 + 速い熱平衡化
→ v_2 等の RHIC データを広く説明
- 速い熱平衡化の起源は？ → **グルーオン場の不安定性が鍵**
 - Weibel 不安定性 *Mrowczynski; Dumitru, Schenke, Strickland, Nara*
= 非等方な運動量分布を持つ粒子がカラー場に不安定性をもたらす
 - Nielsen-Olesen 不安定性 *Iwazaki, Itakura, Fujii*
= 強い磁場に揺らぎがある場合のカラー場自体の不安定性
- 古典論でのエントロピー増加率
= Kolmogorov-Sinai (KS) エントロピー (正 Lyapunov 指数の和)
$$S_{KS} = \sum_n \lambda_n \theta(\lambda_n) \quad \delta X_i = \delta X_i(t=0) \exp(\lambda_i t)$$
 - 古典軌道の不安定性 (カオス的振る舞い) がエントロピー生成の起源
E.g. Biro, Gong, Muller, Trayanov, 1994 → $\tau = 0.4$ fm/c

エントロピー生成

■ N 体分布関数におけるエントロピー

- 古典ハミルトン系 (Boltzmann; Wehrl) → Liouville 定理により保存

$$S_{Wehrl} = - \int \frac{dx dp}{(2\pi)^D} f \log f$$

- 量子系 (von Neumann) → 純粋状態であれば常に 0。

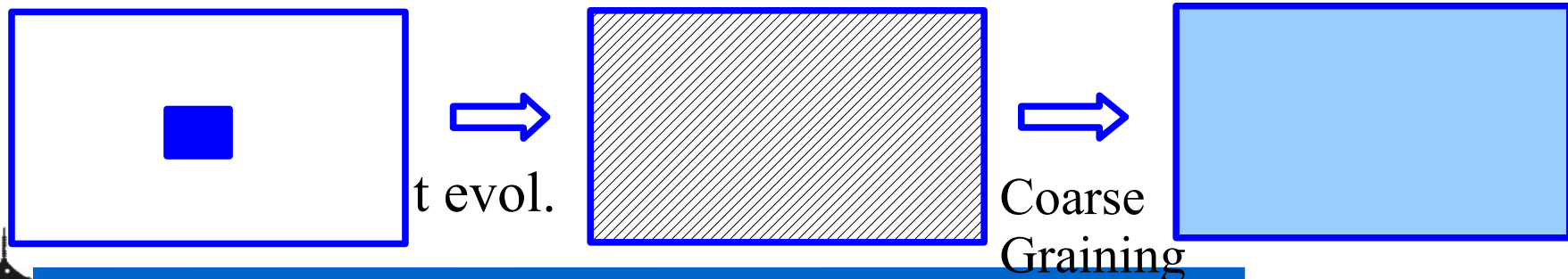
$$S_{vN} = - \text{Tr} [\hat{\rho} \log \hat{\rho}] = - \sum_n w_n \log w_n$$

($f, \rho \rightarrow$ 多体分布関数、密度行列)

→ 何らかの「情報の損失」が必要

■ 熱浴が無い場合の「情報の損失」

位相空間分布の複雑性 → 観測者は区別不可能 → 粗視化



場の理論におけるエントロピーと粗視化

- N 体分布関数 → 1 体分布関数

$$S = \int d\Gamma \left(-f \log f + \sigma (1 + \sigma f) \log (1 + \sigma f) \right) \quad (\sigma = \pm 1 \text{ for F/B})$$

- Kadanoff-Baym 方程式を用いた発展した取り扱い
Kita, 2006, Ivanov, Knoll, Voskresensky, 2000; Nishiyama, 2008.
- 場の coherence が強い場合に適用可能か？

- 場の変数を直接用いる方法 = Wigner 汎関数

Mrowczynski, Muller, 1994

- 量子力学：密度行列 → Wigner 関数 (位相空間分布)
- 場の理論：正準変数 = (Φ, Π) → Wigner 汎関数
- 問題点： Wigner 関数は負になりうる
Liouville 定理より Wehrl エントロピーは一定

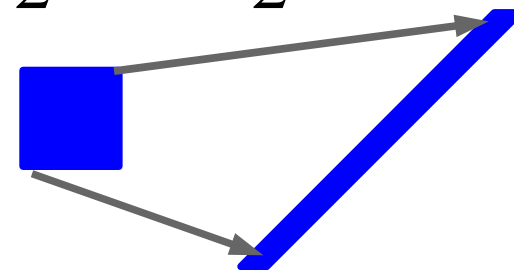
Husimi 関数 (= 最小波束で粗視化した Wigner 関数) により評価した Wehrl エントロピーの増加率は KS エントロピーと一致するか？
→ 量子力学 & 場の理論

Wigner 関数 & Husimi 関数

■ Wigner 関数 $W(x, p) = \int ds \exp(-ips) \langle x + \frac{s}{2} | \hat{\rho} | x - \frac{s}{2} \rangle$

- 運動方程式 $H = p^2/2m + V(x)$ の場合、

$$\frac{\partial W}{\partial t} = \frac{p}{m} \frac{\partial W}{\partial x} - \frac{\partial V}{\partial x} \frac{\partial W}{\partial p} + O(\hbar^2)$$



- 古典軌道に沿って Wigner 関数は一定 (Liouville の定理)
→ Wehrl エントロピーは一定

■ Husimi 関数 = Wigner 関数を最小波束で平均化

$$H_{\Delta}(p, x; t) \equiv \int \frac{dp' dx'}{\pi \hbar} \exp\left(-\frac{1}{\hbar \Delta} (p - p')^2 - \frac{\Delta}{\hbar} (x - x')^2\right) W(p', x'; t)$$

密度行列の最小波束での期待値 → 必ず正 or 0
Husimi-Wehrl エントロピー

$$S(t) = - \int \frac{dx dp}{(2\pi \hbar)^D} H(x, p) \log H(x, p)$$

Wigner 汎関数 & Husimi 汎関数

- 場の理論における Wigner 関数 = Wigner 汎関数

$$W[\Pi(x), \Phi(x); t] = \int \mathcal{D}\varphi(x) e^{-i \int dx \Pi(x)\varphi(x)} \quad \text{Mrowcynsky, Muller, 1994}$$

$$\times \langle \Phi(x) + \frac{1}{2}\varphi(x) | \hat{\rho}(t) | \Phi(x) - \frac{1}{2}\varphi(x) \rangle$$

- 運動量表示での運動方程式

$$\hat{H}_0 = \int_0^\infty \frac{dp}{2\pi} \left(\hat{\Pi}^\dagger(p) \hat{\Pi}(p) + (p^2 + m^2) \hat{\Phi}^\dagger(p) \hat{\Phi}(p) \right)$$

$$\hat{H} = \hat{H}_0 + V[\Phi] \quad \rightarrow \quad \frac{\partial W[\Phi, \Pi; t]}{\partial t} = \{H, W\}_{PB} + O(\hbar^2)$$

(Φ, Π) を正準変数とした古典軌道に沿って W は一定

- Husimi 汎関数

$$H_\Delta(\Phi, \Pi, t) = \int \frac{D\phi(p) D\pi(p)}{2\pi} \exp \left[-\frac{1}{\Delta} (\Pi - \Pi')^2 - \Delta (\Phi - \Phi')^2 \right] W(\Phi, \Pi, t)$$

- Husimi-Wehrl エントロピー

$$S_{H,\Delta}(t) = - \int \frac{D\Pi D\Phi}{2\pi} H_\Delta \ln H_\Delta$$

Wigner(汎) 関数の時間発展

- Example: 逆調和振動子ポテンシャル (Roll-Over transition)

$$H = \frac{p^2}{2} - \frac{\lambda^2}{2} x^2 \quad \text{or} \quad \mathcal{L} = \int dx \frac{1}{2} \left[\left(\frac{\partial \Phi}{\partial t} \right)^2 - \left(\frac{\partial \Phi}{\partial x} \right)^2 + \mu^2 \Phi^2 \right]$$

- Lyapunov 指数 = $\lambda, -\lambda$

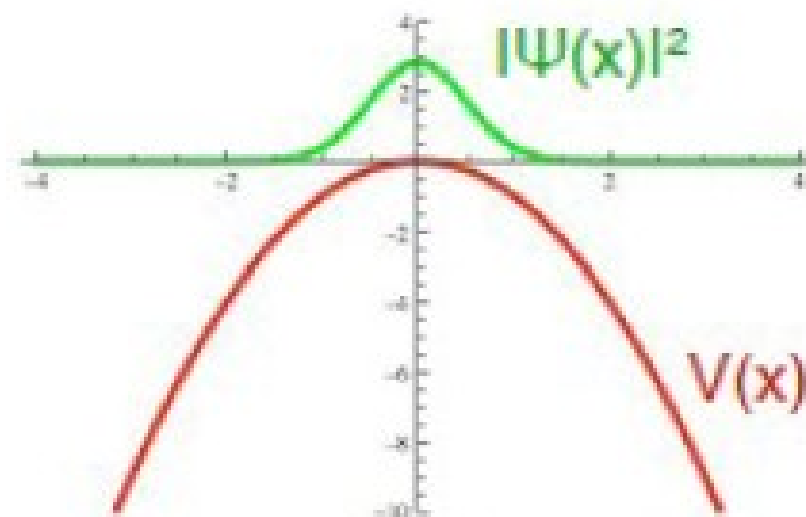
$$x + \frac{p}{\lambda} = \left(x + \frac{p}{\lambda} \right)_{t=0} \exp(\lambda t) \quad , \quad x - \frac{p}{\lambda} = \left(x - \frac{p}{\lambda} \right)_{t=0} \exp(-\lambda t)$$

$$(\lambda_p = \pm \sqrt{\mu^2 - p^2} \quad \text{for QFT with } |p| < \mu)$$

- Kolmogorov-Sinai (KS) エントロピー

= 古典論から期待される
エントロピー増加率

$$S_{\text{KS}} = \lambda$$



Wigner(汎) 関数の時間発展

- Example: 逆調和振動子ポテンシャル (Roll-Over transition)

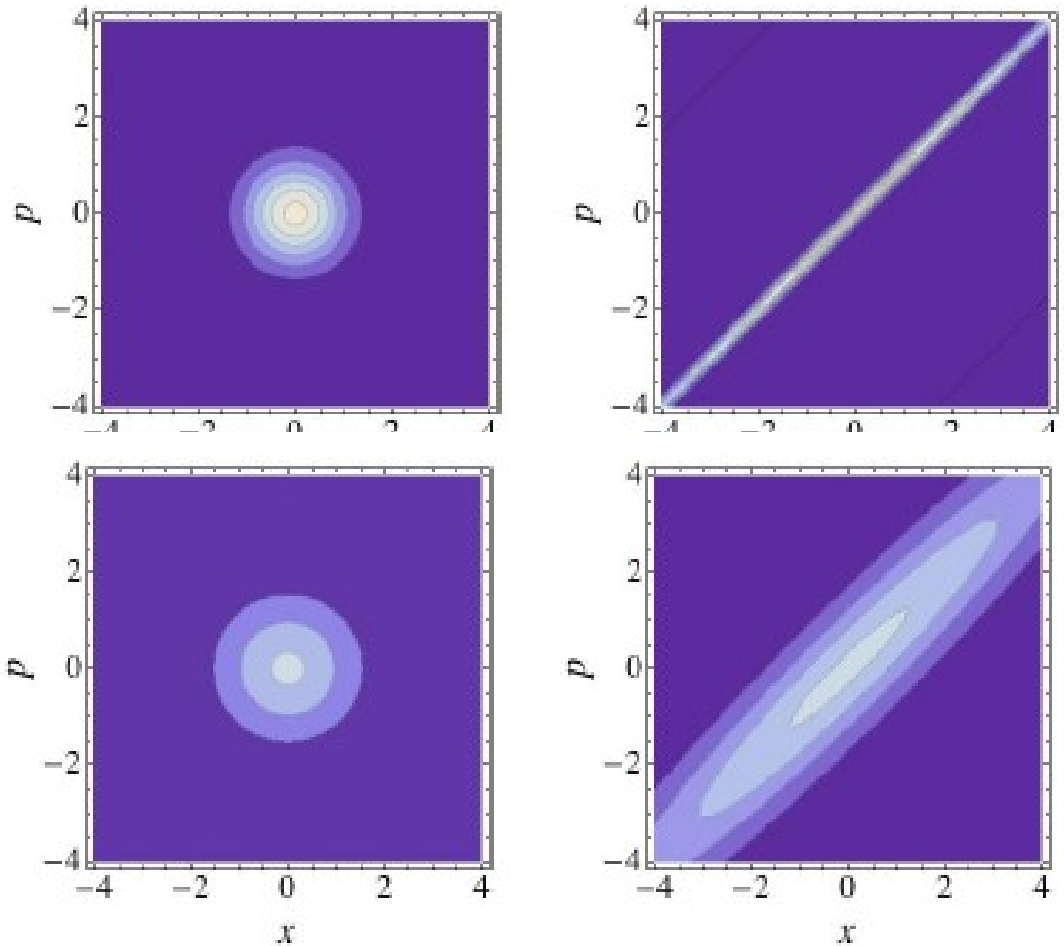
$$H = \frac{p^2}{2} - \frac{\lambda^2}{2} x^2 \quad \text{or} \quad \mathcal{L} = \int dx \frac{1}{2} \left[\left(\frac{\partial \Phi}{\partial t} \right)^2 - \left(\frac{\partial \Phi}{\partial x} \right)^2 + \mu^2 \Phi^2 \right]$$

- Wigner(汎) 関数

→ Liouville 定理により
位相空間体積は一定
→ エントロピーは一定
($x+p/\lambda$) 座標は膨張
($x-p/\lambda$) 座標は収縮

- Husimi (汎) 関数

→ Wigner 関数を smearing
→ ($x-p/\lambda$) 座標が
ガウス波束の幅



$$\lambda=1, \lambda t=0, 2$$

エントロピー増加率

- 場の理論の場合
- 初期条件 = ガウス分布

$$W[\Pi, \Phi; t] = W[\{\Pi_p^0\}, \{\Phi_p^0\}, t=0] = C \exp \left[- \int \frac{dp}{2\pi} \left(\frac{|\Pi_p^0|^2}{E_p} + E_p |\Phi_p^0|^2 \right) \right]$$

- (Φ, Π) の“古典軌道”にそって W は一定
→ $t=0$ に戻って W を評価できる

不安定モード ($|p| < \mu$) $\lambda_p = \sqrt{\mu^2 - p^2}$

$$\Phi_p^0 = \Phi_p(t) \cosh \lambda_p t - \frac{\Pi_p(t)}{\lambda_p} \sinh \lambda_p t \quad \Pi_p^0 = \Pi_p(t) \cosh \lambda_p t - \lambda_p \Phi_p(t) \sinh \lambda_p t$$

安定モード ($|p| > \mu$)

$$\Phi_p^0 = \Phi_p(t) \cos \omega_p t - \frac{\Pi_p(t)}{\omega_p} \sin \omega_p t \quad \Pi_p^0 = \Pi_p(t) \cos \omega_p t + \omega_p \Phi_p(t) \sin \omega_p t$$

エントロピー増加率

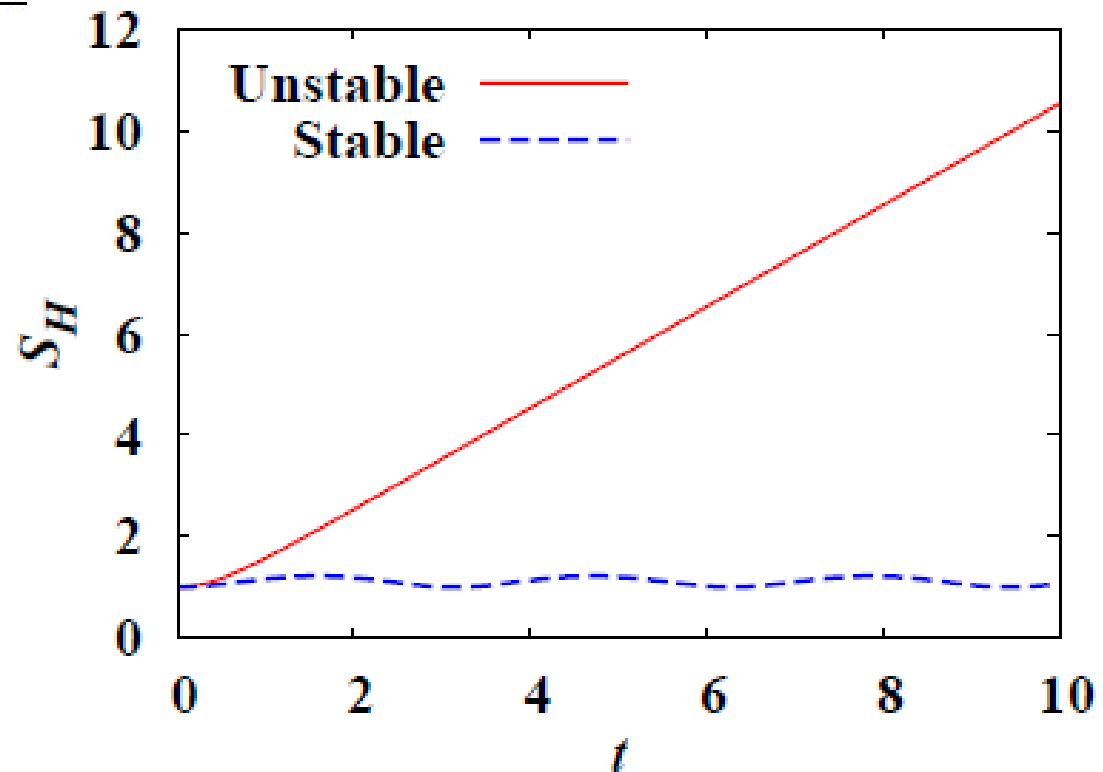
■ Husimi-Wehrl エントロピー

$$S_{H,\Delta}(t) = - \int \frac{D\Pi D\Phi}{2\pi} H_{\Delta} \ln H_{\Delta}$$

$$\frac{dS_{H,\Delta}}{dt} = V \int_{|p| < \mu} \frac{dp}{2\pi} \frac{\sigma_p (\Delta^2 + \lambda_p^2) \sinh 2\lambda_p t}{A_p(t) \Delta}$$

$$+ V \int_{|p| > \mu} \frac{dp}{2\pi} \frac{\tilde{\delta}_p (\omega_p^2 - \Delta^2) \sin 2\omega_p t}{\bar{A}_p(t) \Delta}$$

$$\xrightarrow{t \rightarrow \infty} V \int_{-\mu}^{\mu} \frac{dp}{2\pi} \lambda_p = \frac{V \mu^2}{4}$$



場の理論において、それぞれのフーリエ成分に対して、**Husimi-Wehrl エントロピーの増加率が KS エントロピーと一致**

Summary

- 非平衡な状況下で場のエントロピーを評価する方法を提案
 - Wigner 汎関数+ガウス(最小)波束による粗視化 = Husimi 汎関数
 - 位相空間 (Φ, Π) で積分した Wehrl エントロピーの増加率は逆調和振動子に対しては Kolmogorov-Sinai(KS) エントロピーと一致
 - Hamiltonian が (Φ, Π) の2次までの場合、および $\hbar \rightarrow 0$ では、古典軌道+ガウス波束による smearing により Husimi 汎関数、Husimi-Wehrl エントロピーを評価可能。
 - Inflation 過程にも適用可能 (*Kunihiro, Muller, AO, Schafer, 2009*)
- 問題点・今後の課題
 - 低温で熱平衡のエントロピーを過大評価 (*E.g. AO, Randrup*)
 - $O(N)$ 模型など、平衡点がある場合には増加率が KS エントロピーからずれる (*Pattanayak, private comm.*)
 - Classical Yang-Mills 模型への適用
(*Gong, Muller, Biro, 1994; Biro et al., 1994*
Yamamoto, Takahashi, Kunihiro, Muller, AO, Schafer, to be done)

熱平衡時のエントロピー

■ 調和振動子

$$\mathcal{H} = \frac{p^2}{2} + \frac{1}{2}\omega^2 x^2$$

$$S_{vN} \equiv - \sum_{n=0}^{\infty} w_n \ln w_n = \frac{\beta \hbar \omega}{e^{\beta \hbar \omega} - 1} - \ln(1 - e^{-\beta \hbar \omega}) \\ = -\bar{n} \ln \bar{n} + (\bar{n} + 1) \ln(\bar{n} + 1) .$$

■ 低温で

Husimi-Wehrl エントロピーは

$$S_W = 1 - \ln B_\beta = 1 + \ln \left(\bar{n} + \frac{1}{2} \right)$$

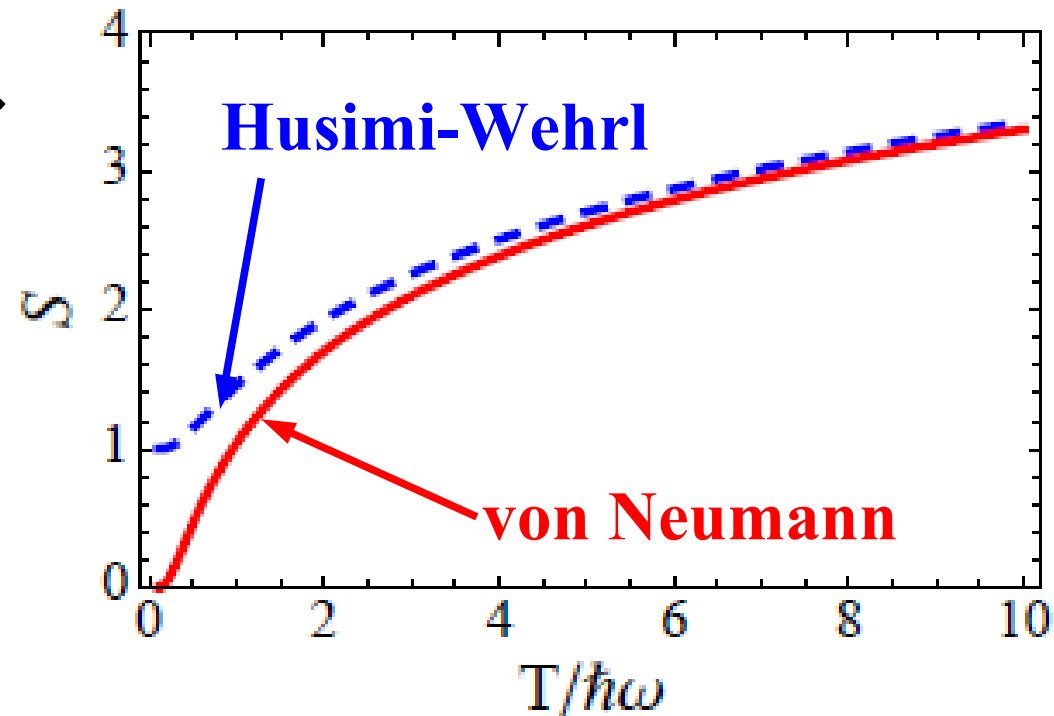
von Neumann エントロピーより大

$$S_H = 1 - \ln A_\beta = 1 + \ln(\bar{n} + 1)$$

■ 原因

波束のもつエネルギー幅により、
重率とエントロピーの関係が
ずれる。 (*AO, Randrup, 1997*)

$$Z_\beta = \int d\Gamma \langle z | e^{-\beta \mathcal{H}} | z \rangle \\ = \int d\Gamma \exp \left[- \int_0^\beta d\beta' \mathcal{H}_{\beta'}(z) \right]$$



Backup

Entropy Production before QGP

- Initial ($\tau < 1/Q_s$)

Decoherence $\rightarrow dS/dy = 1500$ (A.Schafer)

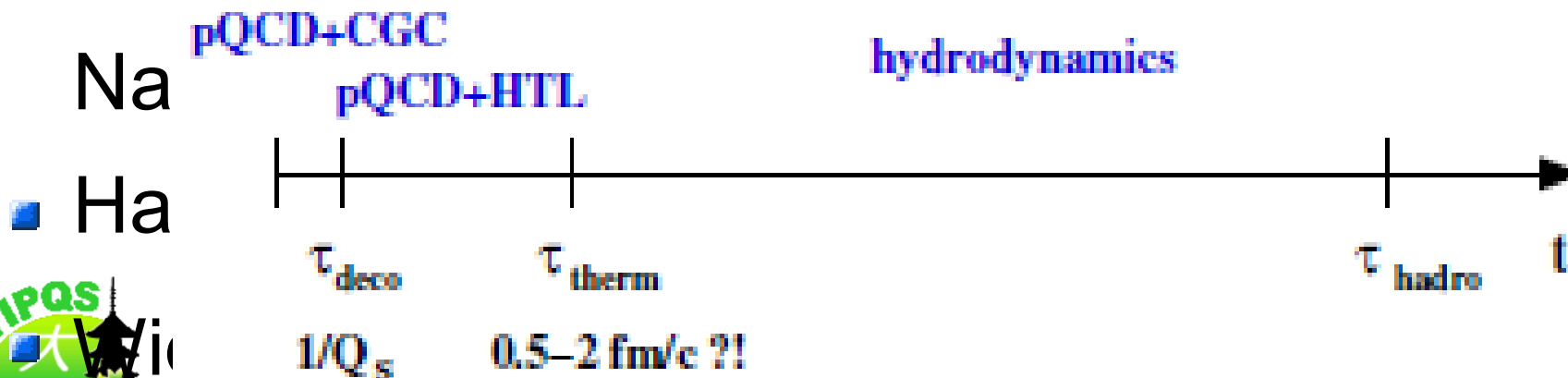
Initial Condition Fluctuation from CGC \rightarrow
Something (Nara)

- Glasma ($1/Q_s < \tau < \tau_{\text{therm}}$)

Instability, $h_{\text{KS}} \rightarrow \Delta S/S_{\text{th}} \sim (30-40) \%$ (A.Schafer, Strickland)

- Hydro ($\tau_{\text{th}} < \tau < \tau_{\text{hadro}}$)

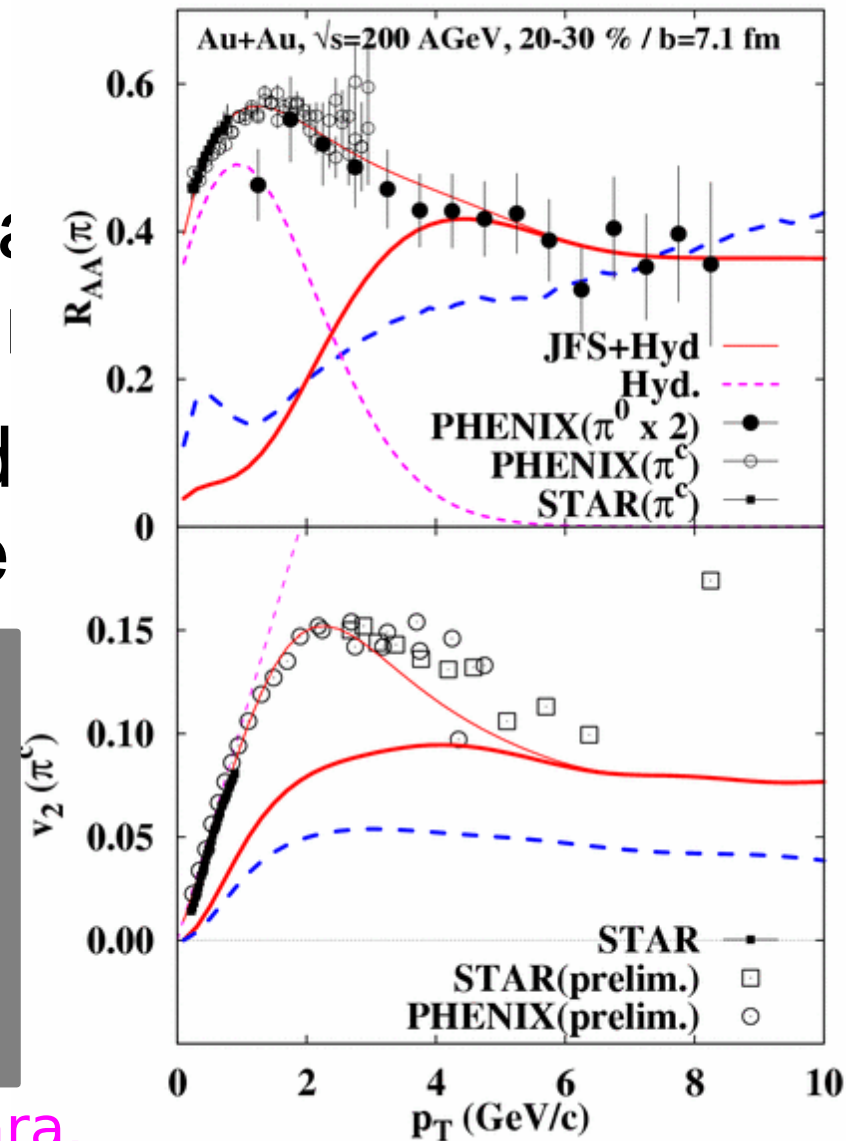
Shear and bulk viscosity $\rightarrow \Delta S/S \sim 30 \%$ (Fries,



Entropy Production before QGP

- What is the GOAL ?
 $dN/dy \sim 1000$ (central)
 $\rightarrow dS/dy \sim 4000$ ($S/N \sim 4$)
assuming ALL the hadrons are produced from thermalized medium
- Some of the particles are produced via (unthermalized) jet and Re

Do we already have enough source of Entropy during this workshop ?
Are these description consistent ?
Coarse graining: when, how ?
 \rightarrow Let's keep in touch



Isse, Hirano, Mizukawa, AO, Yoshino, Nara,
Int. J. Mod. Phys. E16 (2007), 2338 [nucl-th/0702068]

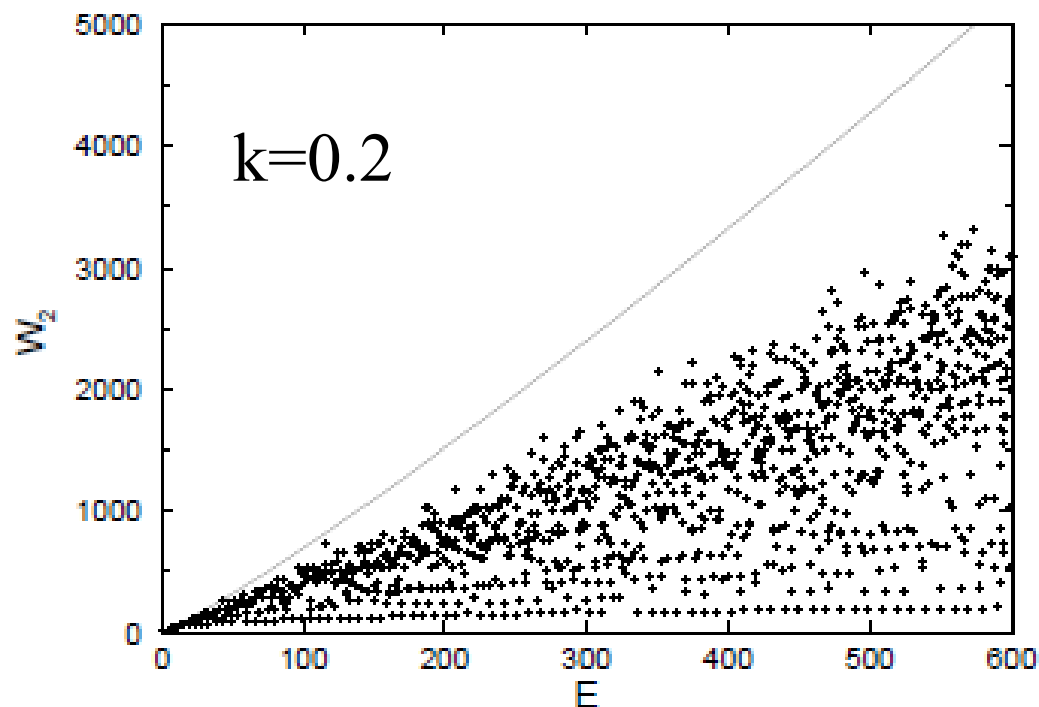
Complexity Degree: Second Moment

- Small average Husimi function would be a measure of chaoticity
Sugita, Aiba, J. Phys. A 36 (2001), 9081.

$$H = \frac{1}{2}(p_x^2 + p_y^2) + \frac{1}{2}(x^4 + y^4) - kx^2y^2,$$

$$W_2(\rho_H) = \frac{1}{M_2(\rho_H)},$$

$$M_2(\rho_H) = \int \frac{dpdq}{(2\pi\hbar)^k} \rho_H(\mathbf{p}, \mathbf{q})^2.$$



TDHF and Vlasov Equation

- Time-Dependent Mean Field Theory (e.g., TDHF) $i \hbar \frac{\partial \phi_i}{\partial t} = h \phi_i$

- Density Matrix

$$\rho(r, r') = \sum_i^{\text{Occ}} \phi_i(r) \phi_i^*(r') \rightarrow \rho_W = f \text{ (phase space density)}$$

- TDHF for Density Matrix

$$i \hbar \frac{\partial \rho}{\partial t} = [h, \rho] \rightarrow \frac{\partial f}{\partial t} = \{h_W, f\}_{P.B.} + O(\hbar^2)$$

- Wigner Transformation and Wigner-Kirkwood Expansion
(Ref.: Ring-Schuck)

$$O_W(r, p) \equiv \int d^3 s \exp(-i p \cdot s / \hbar) \langle r + s/2 | O | r - s/2 \rangle$$

$$(AB)_W = A_W \exp(i \hbar \Lambda) B_W \quad \Lambda \equiv \nabla'_r \cdot \nabla_p - \nabla'_p \cdot \nabla_r \quad (\nabla' \text{ acts on the left})$$

$$[A, B]_W = 2i A_W \sin(\hbar \Lambda / 2) B_W = i \hbar \{A_W, B_W\}_{P.B.} + O(\hbar^3)$$

Test Particle Method

- Vlasov Equation

$$\frac{\partial f}{\partial t} - \{h_W, f\}_{P.B.} = \frac{\partial f}{\partial t} + v \cdot \nabla_r f - \nabla U \cdot \nabla_p f = 0$$

- Classical Hamiltonian

$$h_W(r, p) = \frac{p^2}{2m} + U(r, p)$$

- Test Particle Method (C. Y. Wong, 1982)

$$f(r, p) = \frac{1}{N_0} \sum_i^{AN_0} \delta(r - r_i) \delta(p - p_i) \rightarrow \frac{dr_i}{dt} = \nabla_p h_w, \quad \frac{dp_i}{dt} = -\nabla_r h_w,$$

Mean Field Evolution can be simulated

by Classical Test Particles

**→ Opened a possibility to Simulate High Energy HIC
including Two-Body Collisions in Cascade**

Wigner Function

- Example: Inverted Harmonic Oscillator

$$\hat{H} = \frac{1}{2}\hat{p}^2 - \frac{1}{2}\lambda^2\hat{x}^2$$

- Equation of Motion

$$\frac{\partial W}{\partial t} = \frac{2}{\hbar} H \sin(\hbar \Lambda / 2) W = \{H, W\}_{P.B.}$$

$$(AB)_W = A_W \exp(i \hbar \Lambda) B_W \quad \Lambda \equiv \nabla'_r \cdot \nabla_p - \nabla'_p \cdot \nabla_r \quad (\nabla' \text{ acts on the left})$$

H contains only p^2 and $x^2 \rightarrow$ No $O(\hbar^3)$ terms

\rightarrow Classical EOM gives exact results

$$\frac{dx}{dt} = p, \quad \frac{dp}{dt} = \lambda^2 x \rightarrow \begin{pmatrix} x \\ p/\lambda \end{pmatrix} = \begin{pmatrix} \cosh \lambda t & \sinh \lambda t \\ \sinh \lambda t & \cosh \lambda t \end{pmatrix} \begin{pmatrix} x_0 \\ p_0/\lambda \end{pmatrix}$$

- Solution : Wigner function is constant along the classical path

$$W(x, p; t) = W(x_0(x, p, t), p_0(x, p, t); t=0)$$

